

日本電信電話公社茨城電気通信研究所 正会員 田中邦男

- 1、まえがき、最近、ライフライン等に対する耐震性向上が社会的に強く要請され、情報化社会進展の一翼を担う通信土木施設についても、その信頼性確保は益々重要なものとなってきている。本文は、この信頼性向上のための基礎的資料として、大地震で対象となる連続コンクリートトンネルの切断間隔の問題をとり上げ、確率モデルを導入し、トンネル強度の確率分布と地震応答特性とを連繋させ、マクロ的な、確率事象例をまとめたものである。
- 2、確率モデルの導入、大地震で対象となる切断間隔とは、連続コンクリートトンネルの地震応答特性により、最初に生じた一つの切断力所を原点にとった、ある有限長さで表示される。いま、この切断間隔を統計的に把握するためには、図1のような母材部I、継手部J別の単位体群に分け、各単位体内を、図2に示す等ウェートごとのブロック群に細分し、原点から出発して二番目の切断力所が生じたブロックに注目して、その発生確率を検討する。これら切断力所は、所属する単位体内のある一つのブロックを占有しているものと仮定し、 $i$ 単位体、 $j$ ブロック中の一つを取り出すと、切断発生の確率分布が定まっている場合、このブロックの位置もとに応じて確率 $P_{ij}$ が求まる。すなわち、No.1単位体、No.1ブロックに切断線が生ずる確率 $P_{11}$ 、No.1単位体、No.2ブロックに初めて切断線が生ずる確率 $P_{12}$ 、 $\dots$ 以下同様に表示でき、 $P_{11}, P_{12}, \dots, P_{1m}$ のなどく、確率群が対応する。これらを一括して、0の個数が $[i,j]$ 個続くときの確率を $P_{ij}$ で表現すると、通常の確率の場合においては $[i,j] \rightarrow$ 大の小 $\Rightarrow P_{ij} \rightarrow 0$ となり、中間のある0の個数 $[i,j]_m$ で最大確率 $P_{im}$ をとる傾向が推測できる。
- 3、確率公式の組立、前記の切断事象発生ブロックの番地を、No. $v$ 単位体、No. $m$ ブロックとするとき、 $O_{ij}$ はそれまでの0の集合体であって、これは式(2)で表わされる。また、このとき切断事象発生確率 $P_{ij}(O_{ij}, 1)$ は、原点から出発して0が $n$ 回続き、 $n+1$ 番目

に初めて1となる確率であり、確率理論を用い、式(3)で算定される。この式(3)中の $P_{ij}$ は、 $i, j$ 点までのすべてのブロックに切断線が生じていない確率、 $P_{ij}$ は、 $i, j$ 点のブロックに切断線が生ずる確率であって、それぞれ、式(4)(5)の累積分布関数、種分関数を表わし、IJ別に示さる。

以上により、 $i, j$ 点での確率 $P_{ij}(O_{ij}, 1)$ と切断間隔 $\lambda(O_{ij}, 1)$ とは、トンネルの地震応答特性、母材・継手強度の確率分布、表1、等によつて、

項目	記号	定式
地盤	蓋位移幅	$U_a$ 30 cm
	波長	$L$ 200 m
	剪断強度	$V_s$ 60 m/sec
土質	土の強度係数	$T$ $2 \times 10^3$ kg/cm <sup>2</sup>
	ヤング率	$E$ $1 \times 10^5$ kg/cm <sup>2</sup>
	外径	$D$ 140 cm
トンネル	断面積	$A$ $4.08 \times 10^3$ cm <sup>2</sup>
	断面2次モーメント	$I$ $8.68 \times 10^6$ cm <sup>4</sup>
剛比	軸ひずみ剛	$\alpha_1$ $2.32 \times 10^{-4}$ cm <sup>-1</sup>
	曲げひずみ剛	$\alpha_2$ $5.04 \times 10^{-4}$ cm <sup>-1</sup>
応力	軸ひずみ剛	$\sigma_L = 7.912$ kg/cm <sup>2</sup> , l:m
	曲げひずみ剛	$\sigma_B = 0.52 L^2$ kg/cm <sup>2</sup> , l:m
合成応力	$\sigma_x$	$\sigma_x = 13.38 L$ kg/cm <sup>2</sup> , l:m
誤差**	$e$	$e = 7 \times 10^{-6} L^2$ kg/cm <sup>2</sup> , l:m

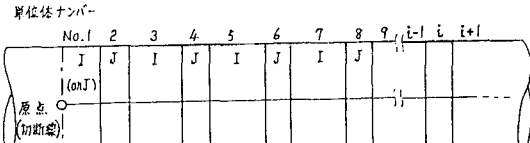


図1. 単位体群の分類例。

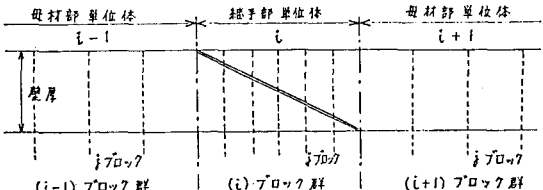


図2. ブロック群の分割例。

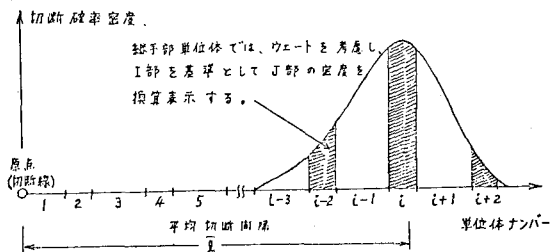


図3. 切断確率密度、平均切断間隔の例。

一対一で定まることが言える。すなわち、 $\ell(O_{ij}, 1)$  の平均値  $\bar{\ell}$  は式(1)で求まり、また、 $\bar{\ell}$  に対する分散の最尤推定量  $\bar{V}$ 、信頼区間は、それぞれ、式(6),(7)のように表示される。

4、応力公式の適用、大地震時で生じた最初の切断線近傍の  $i, j$  点の応力  $\sigma_{ij}$  は、補正係数を導用し算定できる。本例では、式(8)の仮定を用いると、切断面積と応力との関係式が、近似式(9)で示され、 $O_{ij}$  が原点からの距離に比例して大きくなることが言える。これより、母材・継手強度分布実測結果を用い、以下のマクロ的計算が容易となる。

$$\bar{\ell} = \sum_i \sum_j \ell(O_{ij}, 1) \cdot P_n(O_{ij}, 1) \quad (1) \quad n = \sum_{i=1}^{v-1} m_i + \mu - 1 \quad (2)$$

$$P_n(O_{ij}, 1) = \frac{m_i}{\pi} \frac{m_j}{\pi} p_{ij} \cdot \frac{\mu-1}{\mu} k_{ij} - P_{nI} \quad (3) \quad m_i: No. i \text{ 単位体に含まれるプロック数}$$

$$\left. \begin{array}{l} I: p_{ij} = \int_0^{\sigma_{ij}} f_I(\sigma) d\sigma \\ J: p_{ij} = \int_0^{\sigma_{ij}} f_J(\sigma) d\sigma \end{array} \right\} (4) \quad \left. \begin{array}{l} I: P_{nI} = \int_{\sigma_{ij}}^{\infty} f_I(\sigma) d\sigma \\ J: P_{nJ} = \int_{\sigma_{ij}}^{\infty} f_J(\sigma) d\sigma \end{array} \right\} (5)$$

$\sigma: I, J$  強度、 $f_I(\sigma), f_J(\sigma): I, J$  強度分布の確率密度函数

$$\bar{V} = \sum_i \sum_j [\ell(O_{ij}, 1) - \bar{\ell}]^2 \cdot P_n(O_{ij}, 1) \quad (6) \quad \bar{\ell}_i: \ell_i \text{ の真の平均値}$$

$$\bar{\ell} + \tilde{\ell}(\alpha, \Delta) \sqrt{\bar{V}} > \ell_i > \bar{\ell} - \tilde{\ell}(\alpha, \Delta) \sqrt{\bar{V}} \quad (7) \quad \text{分割 } \Delta \text{ で定まる信頼度}$$

$$\frac{\ell}{L} \ll 1, \lambda_1 \ell, \lambda_2 \ell < 1 \quad (8), \quad C_{ij} = \frac{\sqrt{3.12 \pi \lambda^2 E u_k}}{\sqrt{2 \pi^2 + \lambda_1^2 L^2}} \cdot \ell(O_{ij}, 1) \quad (9)$$

5、具体例と考察、本例での、母材、継手側切断確率  $P_{nI}, P_{nJ}$  は、図 5 の実測結果、式(10)(11)より求まり、 $(P_{nJ} = 1 - P_{nI})$ 、 $P_{nJ}/P_{nI}$  が、大約、2 となる。これより、継手単位体のウェートを母材の 2 倍とし、 $I, J$  単位体が各 2, 1 プロックずつで構成される分割割合を試みると、表 1 より、図 4 が得られる。

$$\text{母材側切断確率} \quad P_{nI} = \sum_{\Delta \sigma} f_I(\sigma) \Delta \sigma \left[ \int_{\sigma}^{\infty} f_J(\sigma) d\sigma \right] \quad (10)$$

$$\text{"正規分布"} \quad P_{nI} = \int_{-\infty}^{\infty} f_I(\sigma) \left[ \int_{\sigma}^{\infty} f_J(\sigma) d\sigma \right] d\sigma \quad (11)$$

本例でのコンクリートトンネルの場合、図 4 中の 3 例は、いずれも、最初に発生する切断線の位置如何にかかわらず、各平均切断面積とも  $2.7 \text{ m}^2$  ばかり  $0.5 \text{ m}$  程度となっていることが言える。この場合、分割による傾向は、分割数を変えてても、同様な形態となることが予想され、不明瞭点が多い現時点の分割増加は、あまり意味がないことがわかる。

6、あとがき、以上は、大地震で対象となる連続コンクリートトンネル切断事象の一考察例をまとめたものであって、抽象的事項が多いが、将来への合理的継手構造の研究等、今後より具体的な検討の必要性が考えられる。

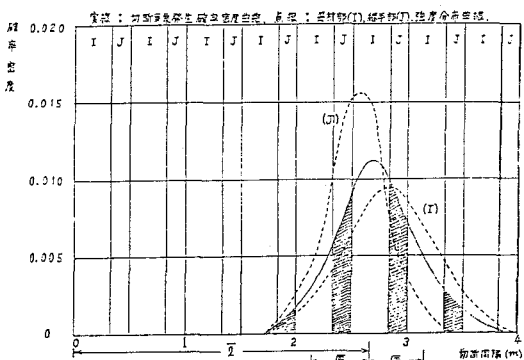


図 4-1. 繰手部 J 左端に最初の切断線(原点)が存在する場合。

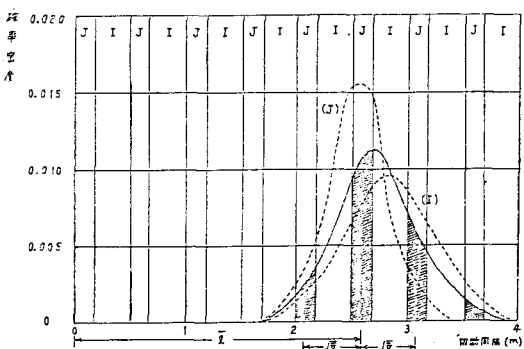


図 4-2. 繰手部 J 左端に最初の切断線(原点)が存在する場合。

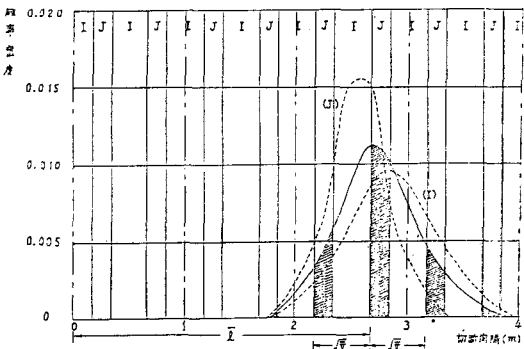


図 4-3. 母材部 I 中央部に最初の切断線(原点)が存在する場合。

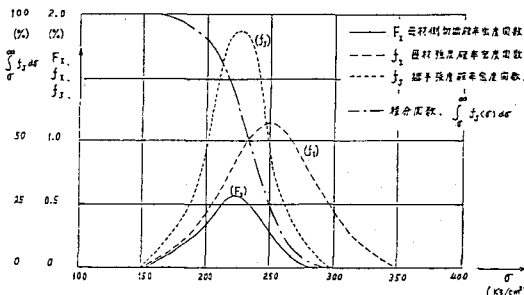


図 5:  $F_z, f_z, f_J$  ～  $\sigma$  (実測結果)